УДК 539.196.3+539.219.3

ФИЗИЧЕСКАЯ ХИМИЯ

А. И. МАКЛАКОВ, В. С. ДЕРИНОВСКИЙ, Б. Ф. ТЕПЛОВ, А. Е. ЧАЛЫХ, Т. А. СЕРЕБРЕННИКОВА, В. П. ГРИГОРЬЕВ

МОЛЕКУЛЯРНОЕ ДВИЖЕНИЕ В СИСТЕМЕ ПОЛИВИНИЛХЛОРИД — ДИОКТИЛФТАЛАТ

(Представлено академиком Н. М. Эмануэлем 15 II 1973)

1. В работе исследовался пластифицированный диоктилфталатом (ДОФ) поливинилхлорид (ПВХ) марки С-65. Весовая доля ω_1 пластификатора в образцах изменялась от 0,29 до 0,60. Образцы готовились прессованием при 160°. Были измерены времена поперечной (T_2) и спин-решеточной (T_4) ядерной магнитной релаксации, вторые моменты M_2 линии поглощения я.м.р. на аппаратуре и методами, описанными в (4 , 2). На основании данных по взаимной диффузии ДОФ были рассчитаны коэффициенты самодиффузии D_s (3). Измерения проводились в интервале температур от -40 до 100° .

Во всей изученной температурной области наблюдалось единственное T_1 , в то время как поперечная релаксация описывается двумя временами: длинным T_{2a} и коротким T_{2b} . За длинное время ответственны в основном протоны пластификатора, за короткое — протоны ПВХ (4). Это утверждение справедянво для температур $T=-20^\circ$ и выше в зависимости от концентрации ДОФ. Зависимости T_{2a} от T_{2b} описываются T_{2b} опи

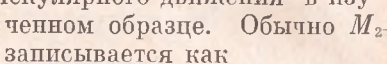
до нуля с увеличением Т.

- 2. Известно, что пластификатор, введенный в образец, адсорбирустся на макромолекулах, образуя сольватные оболочки. С точки зрешия адсорбции, полимер является, по-видимому, неоднородным адсорбентом (5). При небольших ω_1 пластификатор адсорбируется на наиболее активных участках, с ростом его концентрации происходит адсорбция на все менее активных участках, а при больших ω_1 образуется самостоятельная фаза жидкого компонента. Как показано в (5), «свободный» пластификатор в системе ПВХ ДОФ существует в том случае, когда $\omega_1 > 0.6$, поэтому в исследованных образцах весь пластификатор должен находиться в «связанном» состоянии.
- 3. Нетрудно показать, что преобладающими движениями молекул ДОФ, определяющими T_{2a} и T_1 , являются различные вращательные моды. Рассмотрим это на примере образца с $\omega_1=0.5$. Поступательное движение больших молекул, к которым можно отнести молекулу ДОФ, с хорошим приближением можно описать с помощью уравнения диффузии с коэффициентом D_s . Время корреляции τ_t поступательного движения $\tau_t=d^2/2D_s$, где d—диаметр молекулы, если считать ее сферической (6). В квазирешеточном приближении строения жидкости (7), полагая, что последияя обладает гранецентрированной кубической решеткой, $d=(\sqrt[7]{2}V_m)^{t_3}$, где V_m —молекулярный объем пластификатора. Ниже приведены значения вычисленных таким образом коэффициентов D_s и времен τ_t для молекул ДОФ при различных температурах:

T-pa, °C	50	70	50
Ds, см/сек ² тt, сек.	$\sim 10^{-10} 10^{-4}$	$\sim 10^{-9} 10^{-5}$	$\sim 10^{-8} 10^{-6}$

Однако движение (поступательное или вращательное) будет оказывать влияние на T_2 , если $(M_{2T})^{1/2} \tau \ll 1$ (6), где M_{2T} — второй момент линии я.м.р. твердой решетки. Для ДОФ такие движения должны характеризоваться $\tau \ll 10^{-5}$ сек. Поэтому, как видно из приведенных данных, поступательное движение может влиять на T_{2a} лишь при $T > 90^{\circ}$, т. е. вне интервала наших измерений. Именно при 100° \dot{M}_2 стремится к нулю (рис. 1, 3), что указывает на возникновение интенсивного поступательного движения (8).

4. Величины вторых моментов при различных T дают возможность высказать пекоторые суждения о характере молекулярного движения в изу-



$$M_2 = M_2' + M_2''$$
, где M_2'' п M_2''' — внутри- и межмолекулярные вклады в M_2 соответственно. Для систем, подобных рассматриваемым, можно полагать, что $M_2'' \approx {}^1/4M_2$ (°). Запишем M_2' для смеси различных молекул (так можно рассматривать любую пластифицированную систему). Пусты имеется k различных типов молекул. Если в i -й молекулесодержится n_i протонов, а мольная доля этих молекул N_i , то из определения второго момента следует, что $M_2' = \sum_{i=1}^k \left(n_i N_i / \sum_{i=1}^k n_j N_i\right) M_{2i}'$, (1)

$$M_{2}' = \sum_{i=1}^{k} \left(n_{i} N_{i} / \sum_{j=1}^{k} n_{j} N_{j} \right) M_{2i}', (1)$$

где M'_{2i} — внутримолекулярный вклад для і-й молекулы.

Температура стеклования образца, рассматриваемого определенная из термомеханических кривых, составляет 40°. При этом с точки зрения я.м.р. сегментальное движение еще заторможено. Предполагая, что концевые СН₃-группы и алкильные ра-

дикалы ДОФ вращаются в этих условиях, из (1) получим, что $M_2' \sim 7$, а $M_2 \sim 9.5 \, \mathrm{s}^2$. Это хорошо совпадает с экспериментально определенным значением $M_2 \sim 10 \ \mathrm{p}^2$ при указанной температуре. Повышение T приводит к увеличению сегментального движения, о чем, кстати, свидетельствует рост T_{2b} , появлению новых мод движения алкильных радикалов пластификатора, который все еще «прикреплен» к полимерному каркасу, и как результат, уменьшению M_2 . Изменение наклона кривой $\lg T_{2b} = f(1/T)$ при 60° п выше указывает на вырождение сегментального движения, т. е. уменьшение величины кинетических единиц, что сопровождается уменьшением энергии активации движения макромолекул $(^{10})$. Лишь при $T\sim$ ~ 100° наблюдаются перескоки молекул пластификатора с частотами, ко-

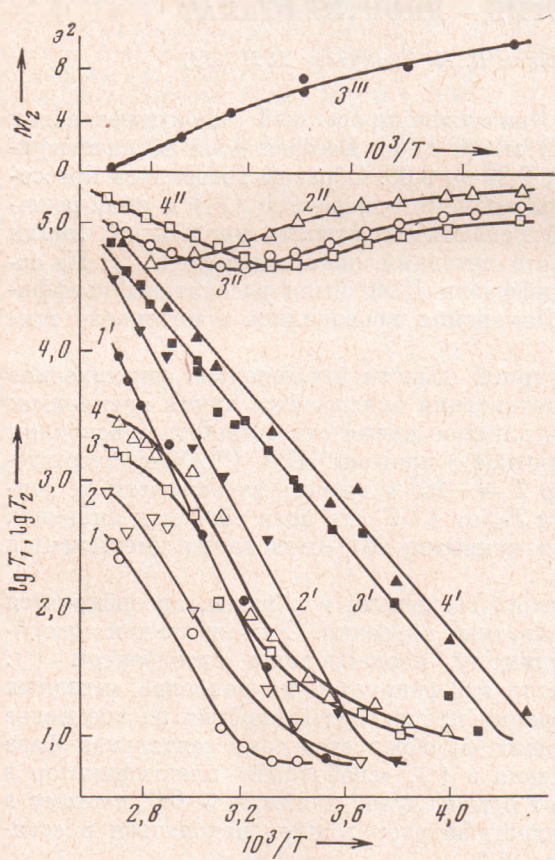


Рис. 1. Зависимость логарифмов T_{2s} (1—4), T_{2a} (1'-4'), T_1 (2''-4'') и M_2 (3''') от обратной температуры для образцов ПВХ, пластнфицированных ДОФ, с ω_1 , равной 0,29 (I, I'), 0,37 (2, 2'), 0,5 (3, 3', 3'', 3''') п 0,6 (4, 4', 4''). $(T_1$ и $T_2 = B$ µсек.)

торые «чувствует» я.м.р. Таким образом, в изученной области температур T_{2a} должно определяться в основном вращательными модами движения

алкильных радикалов.

5. Вследствие неоднородности структуры радикалов (обычный ДОФ это набор изомеров с общей формулой $C_6H_4(COOC_8H_{17})_2$) (11) и неоднородности ПВХ как адсорбента, времена вращательной корреляции т, должны образовывать непрерывный спектр. Тогда T_{2a} можно записать

$$T_{2a} = \left[\int_{0}^{\infty} (T_{2}^{'})^{-2} I(\tau_{r}) d\tau_{r} \right]^{1/2} + \int_{0}^{\infty} (T_{1}^{'})^{-1} I(\tau_{r}) d\tau_{r}, \tag{2}$$

где T_2' — время поперечной релаксации, соответствующее секулярной части гамильтониана диполь-дипольного взаимодействия и равное

$$\begin{split} \frac{1}{T_2'} &= \frac{4 \ln 2}{\pi} \, M_{2T} \, \mathrm{arctg} \, \frac{\pi \cdot \tau_r}{(4 \ln 2) \cdot T_2'} \, ; \\ \frac{1}{T_1'} &= M_{2T} \left[\frac{5}{3} \, \frac{\tau_r}{1 + (\omega \tau_r)^2} + \frac{2}{3} \, \frac{\tau_r}{1 + (2\omega \tau_r)^2} \right] . \end{split}$$

Здесь $I(\tau_r)$ — функция распределения времен τ_r , а ω — круговая резонансная частота. В полимерных системах часто в качестве $I(\tau_r)$ используется функция Фуосса — Кирквуда (12), для которой (2) может быть записано в явном виде, так как выражение для T_i , которое аналогично T_i' , с учетом такого распределения было получено в $(^{13})$, а T_2' в $(^{12})$. Тогда при $\tau_{r0} \ll T_2'$, где τ_{r0} — наивероятнейшее время корреляции, (2) есть

$$\frac{1}{T_{2a}} = \left[M_{2T} \left(\frac{4 \ln 2}{\pi} \right)^{1-\beta} \tau_{r0}^{\beta} \right]^{\frac{1}{2-\beta}} + \frac{5}{3} \frac{\beta}{\omega} M_{2T} \left[\frac{(\omega \tau_{r0})^{\beta}}{1 + (\omega \tau_{r0})^{2\beta}} + \frac{1}{5} \frac{(2\omega \tau_{r0})^{\beta}}{1 + (2\omega \tau_{r0})^{2\beta}} \right], \tag{3}$$

где β — параметр распределения Фуосса — Кирквуда. Анализ соотношения (3) показывает, что (в предположении экспоненциальной зависимости τ_{r0} от T) логарифм T_{2a} должен почти линейно зависеть от 1/T, что и наблюдается. Изменение наклона кривых $\lg T_{2a} = f(1/T)$ указывает на

расширение спектра т, при увеличении од.

6. Наличие одного T_1 при двух T_2 указывает на существование «быстрого обмена» (14). Механизмом обмена в пластифицированных системах (15) может быть спиновая диффузия, которая охватывает протоны полимера и пластификатора. В этом случае паблюдаемое $T_1^{-1} = P_a T_{1a}^{-1} +$ $+P_bT_{1b}^{-1}$, где P_a и P_b — доля протонов, принадлежащих пластификатору и полимеру соответственно, а T_{1a} и T_{1b} — их истинпые времена спин-решеточной релаксации. Так как T_{1a} и T_{1b} обычно неизвестны, то трактовка температурных зависимостей T_i в таких системах, на наш взгляд, затруднительна.

Авторы выражают благодарность И. Б. Рабиновичу за полезное об-

суждение материала и Т. М. Коршуновой за ряд измерений.

Казанский государственный университет

Поступило 17 I 1973

им. В. И. Ульянова-Ленина Институт физической химии Академии наук СССР

Москва

ЦИТИРОВАННАЯ ЛИТЕРАТУРА

ЦИТИРОВАННАЯ ЛИТЕРАТУРА

1 В. С. Дериновский, В. С. Смирнов, А. И. Маклаков, Аспирантск. сборн., в 2, 1972, КГУ, стр. 66. 2 А. И. Маклаков, Г. Г. Пименов, Высокомолек. соед., 7, 536 (1965). 3 Р. М. Васенин, А. Е. Чалых, Высокомолек. соед., 8, 2091 (1966). 4 А. И. Маклаков, Докторская диссертация, КГУ, 1971. 5 И. Б. Рабинович, Н. В. Карякин и др., Высокомолек. соед., А13, 2086 (1971). 6 А. Абрагам. Ядерпый магнетизм, М., 1963. 7 D. Е. O'Reilly, J. Chem. Phys., 49, 5416 (1968). 8 G. W. Smith, J. Chem. Phys., 42, 4229 (1965). 9 И. Я. Слоним, Усп. хим., 31, 609 (1962). 10 Г. П. Михайлов, А. М. Лобанов, ФТТ, 5, 1917 (1963). 11 В. М. Ланцов, Кандидатская диссертация, КГУ, 1970. 12 В. П. Григорьев, А. И. Маклаков, Высокомолек. соед., В13, 652 (1971). 13 Т. М. Соппот, Trans. Farad. Soc., 60, 1574 (1964). 14 D. E. Woessner, J. Chem. Phys., 35, 41 (1961). 15 R. Kimmich, F. Noack, Zs. Naturforsch., 25a, 1680 (1970).